

тепм ускорения (порядка 10 ГэВ/км) делает сооружение гигантским по размерам, а большие эмиттансы наконечников не позволяют получить высокую светимость. Поэтому в проекте ВЛЭПШ разрабатывается линейный ускоритель нового типа («суперлинейка») с темпом ускорения 100 ГэВ/км, а для формирования пучков предусмотрены спец. наконечники, где действует радиационное охлаждение. По оценкам, в этом проекте достигнется светимость  $\sim 10^{32}$  см $^{-2}$ ·с $^{-1}$ . Разрабатываются также спец. методы для поляризации пучков перед ускорением (в т. ч. генерация продольно поляризованных электронов и позитронов на мишени квантами жесткого циркулярно поляризованного синхротронного излучения частиц, проходящих через спиральные однодюймовые, установленные в транспортировочных каналах). Ближайшее будущее В. п. pp — проекты Тэватрона и УНК, реализация которых началась.

Второе направление — расширение набора взаимодействующих частиц. В. п. e $^+$ e $^-$  и pp представляют собой соответственно лентон-антилентоны и кварк-антикварковые В. п. Однако не меньший интерес представляет изучение взаимодействия всех осн. фундам. частиц — лептонов и кварков: лептон-лентоны (e $^+$ e $^-$ ), кварк-лентоны (pe $^-$ ), кварк-антилентоны (pe $^+$ ) В. п., а также взаимодействие с участием фотонов, в т. ч. В. п. γγ. В дальнейшем станут доступны эксперименты на встречных дейтрон-антидейтронных пучках, которые нужны, в частности, для изучения нейтрон-антинейтронных взаимодействий. Эффективность накопления антидейтронов лишь на 4 порядка ниже, чем антипротонов, так что вполне достижима светимость  $\sim 10^{27}$  см $^{-2}$  с $^{-1}$  и выше. По-видимому, будут реализованы и эксперименты на В. п. нестабильных частиц — мюонов и пионов.

Третье направление — развитие метода В. п. в области средних, низких и «сверхнизких» энергий, что позволяет исследовать кварк-глюонные системы при таких энергиях; для этого нужны установки со В. п. e $^+$ e $^-$  и pp в области  $E_{\text{pp}} = 3-5$  ГэВ, обладающие светимостью  $10^{32}-10^{33}$  см $^{-2}$  с $^{-1}$ .

И во всех случаях очень острой будет необходимость получения поляризованных В. п.

*Лит.:* 1) Kersh D. et al., Attainment of very high energy by means of intersecting beams of particles, «Phys. Rev.», 1956, v. 102, p. 590; O'Neill G., Storage rings for electrons and protons, in: Proc. intern. conf. on high-energy accelerators and instruments, v. 1, Gen., 1959, p. 125; в рус. пер., в сб.: Накопление релятивистических частиц, М., 1963; Будкер Г. И., Ускорители со встречными пучками частиц, «УФН», 1966, т. 89, с. 533; 2) Скрипин А. Н., Ускорительные и детекторные перспективы физики элементарных частиц, «УФН», 1982, т. 138, с. 3; 3) Балакин В. Е., Будкер Г. И., Скрипин А. Н., О возможности создания установки со встречными электрон-позитронными пучками на сверхвысокие энергии, в сб.: Проблемы физики высоких энергий и управляемого термоядерного синтеза, М., 1981; 4) Chirikov B. V., A universal instability of multidimensional oscillator systems, «Phys. Rept.», 1979, v. 52, № 5, p. 203; 5) Дербенев Я. С. и др., Поляризованные частицы накопителей, в кн.: Труды X Международной конференции по ускорителям заряженных частиц высоких энергий, т. 2, Серпухов, 1977. — И. Н. Мешков.

**ВТОРАЯ ВЯЗКОСТЬ** — то же, что **объёмная вязкость**.  
**ВТОРАЯ КОСМИЧЕСКАЯ СКОРОСТЬ** — см. *Космические скорости*.

**ВТОРИЧНАЯ ЭЛЕКТРОННАЯ ЭМИССИЯ** — испускание электронов (вторичных) твердыми и жидкими телами при их бомбардировке первичными электронами. Инерционность В. э. э. (промежуточное время между входом в мишень первичных и выходом вторичных электронов) не превышает  $10^{-14}-10^{-12}$  с. При толщине эмиттера, меньшей пробега первичных электронов, вторичные электроны эмитируются как со стороны бомбардируемой поверхности (В. э. э. «на отражение»), так и с её обратной стороны (В. э. э. «на пропадение»). Вторичные электроны имеют непрерывный энергетический спектр от энергии  $E=0$  до энергии первичных электронов  $E_p$  (рис. 1). Поток вторичных электронов состоит из упруго, квазиупруго (испытавших характеристич. потери энергии до сотен мэВ на возбуждение колебаний кристаллической решётки), полуупруго отражённых первичных электронов ( $E>50$  эВ) и истинно отражённых первичных электронов ( $E\leq 50$  эВ). Последние представляют собой электроны вещества, получившие от первичных и неупруго отражённых первичных электронов энергию, достаточную для выхода в

лебаний кристаллической решётки), полуупруго отражённых первичных электронов ( $E>50$  эВ) и истинно отражённых первичных электронов ( $E\leq 50$  эВ). Последние представляют собой электроны вещества, получившие от первичных и неупруго отражённых первичных электронов энергию, достаточную для выхода в

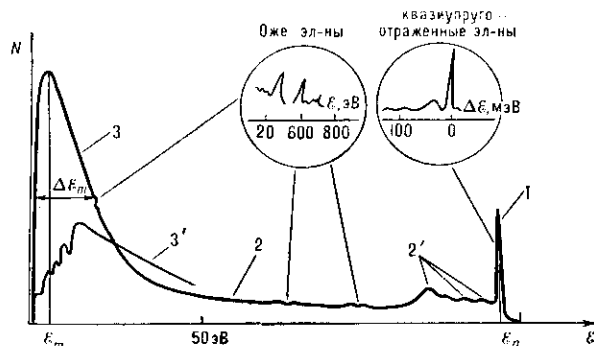


Рис. 1. Энергетический спектр вторичных электронов: 1 — упруго и квазиупруго отражённые электроны; 2 — истинно отражённые электроны (в т. ч. с характеристиками потерями энергии — 2'); 3 — истинно отражённые электроны для плоскости (100) монокристалла W, полученный в узком телесном угле.

вакуум, т. е. превышающую работу выхода. Для металлов параб. вероятная энергия истинно отражённых электронов  $E_m \sim 2-4,5$  эВ и полуширина максимума  $\Delta E_m \sim 12-15$  эВ. Для диэлектриков  $E_m \sim 1$  эВ и  $\Delta E_m \sim 1,5-3$  эВ.

Тонкая структура электронного спектра обусловлена оже-электронами и характеристиками потерями энергии на возбуждения атомов вещества (см. *Оже-эффект*). Она несёт информацию об элементном составе вещества, хим. связях и взаимном расположении атомов. Тонкая структура спектра истинно отражённых электронов, эмитируемых из монокристаллов и регистрируемых в узком телесном угле, отражает распределение плотности

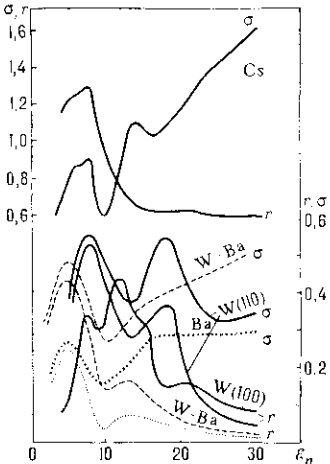


Рис. 2. Зависимости коэффициента вторичной электронной эмиссии  $\sigma$  и упругого отражения  $r$  от энергии первичных электронов  $E_p$ , отсчитываемой от уровня Ферми ( $E_F$ ), в области малых энергий для W, Ba, вольфрама, покрытого слоем Ba и CsI. Кривые для CsI соответствуют масштабу слева,  $r(E_p)$  смешана вверх на 0,5. В скобках указаны кристаллографические индексы плоскостей монокристалла.

свободных состояний выше уровня Ферми (см. *Ферми-энергия*).

Количественно В. э. э. характеризуется коэффициентом В. э. э.

$$\sigma = I_1/I_2 - \delta + \eta + r, \quad (1)$$

где  $I_1$  и  $I_2$  — токи первичных и всех вторичных электронов,  $\delta$ ,  $\eta$ ,  $r$  — коэф. истинной В. э. э., неупругого и упругого отражения первичных электронов соответственно. Коэф.  $\sigma$ ,  $\delta$  и  $\eta$  представляют собой величины, усреднённые по большому числу элементарных